



Sbulzina

Sivilotti P., Stocco M., Migliaro D., Crespan M., 2015. Sbulzina. In: Italian Vitis Database. www.vitisdb.it, ISSN 2282-006X

release 21/01/2017, ultimo aggiorn. 21/01/2017 url <http://vitisdb.it/accessions/show/16438>

Informazioni gestite da

Consiglio per la ricerca in agricoltura e l'analisi dell'economia agraria - Centro di ricerca per la viticoltura (Conegliano TV)

Informazioni generali

nome Sbulzina
nazione di selezione Italia
provincia di selezione non disponibile
istituzione custode non disponibile
collezione Campo di conservazione Azienda Pantianicco di Beano, Codroipo (Udine)
codice ITA388-472.05
regione di selezione Friuli-Venezia Giulia
località di selezione non disponibile

Varietà & clone

tipo di origine spontanea
specie Vitis vinifera
varietà Blaue Zimmettraube
clone non disponibile
trueness to type accertato con rilievi morfologici e microsatelliti
genere Vitis
sub specie sativa
codice della varietà IVD-var_257

Trueness to type

True-name

confermato **si**

►bibliografia correlata (1)

| autori | anno | titolo | rivista | citazione |
|---------------------------------|------|---|---------|-------------|
| Maul E., Roeckel F., Toepfer R. | 2016 | The "missing link" 'Blaue Zimmettraube' reveals that 'Blauer Portugieser' and 'Blaufraenkisch' originated in Lower Styria | Vitis | 55, 135-143 |

Trueness to type accertato con rilievi morfologici (ampelografici)

accertamento con rilievi morfologici (ampelografici) **accertato**

►bibliografia correlata (1)

| autori | anno | titolo | rivista | citazione |
|-------------------------------------|------|---|---------------|-----------|
| Sivilotti P., Petrusi C., Stocco M. | 2013 | Le viti dimenticate. Un patrimonio riscoperto in Friuli Venezia Giulia. | ERSA, Gorizia | |

Trueness to type accertato con microsatelliti

accertamento con microsatelliti **accertato**

►bibliografia correlata (1)

| autori | anno | titolo | rivista | citazione |
|--|------|---|---------|---------------|
| Crespan M., Fabbro A., Giannetto S., Meneghetti S., Petrusi C., Del Zan F., Sivilotti P. | 2011 | Recognition and genotyping of minor germplasm of Friuli Venezia Giulia revealed high diversity. | Vitis | 50 (1): 21-28 |

loci confrontati **n.d.**

loci identici **n.d.**

discrepanze **n.d.**

Profilo microsatellite standardizzato

| loci: | loci predefiniti (9) | | | | | | | | | | | | | | | | | |
|-------------|------------------------|-----|-------|-----|-------|-----|--------|-----|---------|-----|---------|-----|--------|-----|--------|-----|--------|-----|
| locus SSR: | VVS2 | | VVMD5 | | VVMD7 | | VVMD27 | | VrZAG62 | | VrZAG79 | | VVMD25 | | VVMD28 | | VVMD32 | |
| allele: | A1 | A2 | A1 | A2 | A1 | A2 | A1 | A2 | A1 | A2 | A1 | A2 | A1 | A2 | A1 | A2 | A1 | A2 |
| dimensione: | 143 | 143 | 225 | 225 | 239 | 257 | 181 | 194 | 194 | 204 | 251 | 259 | 250 | 256 | 249 | 263 | 253 | 273 |

Vi sono altri loci consultabili online

Immagini



germoglio



foglia



foglia pagina inferiore



grappolo





acino



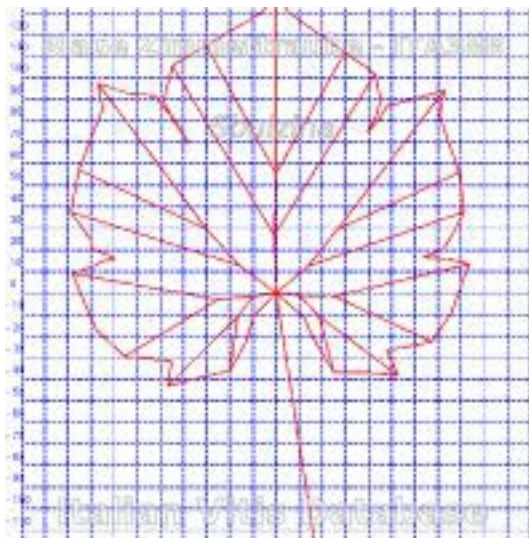
vinacciolo

Ampelografia

| OIV | descrizione | valore | | immagini |
|-----|---|--------|---|----------|
| | | | | |
| 001 | Giovane germoglio: apertura dell'apice | 5 | completamente aperto | |
| 004 | Giovane germoglio: densità dei peli striscianti dell'apice | 3 | bassa | |
| 007 | Germoglio: colore del lato dorsale degli internodi | 2 | verde e rosso | |
| 008 | Germoglio: colore del lato ventrale degli internodi | 1 | verde | |
| 016 | Germoglio: numero di viticci consecutivi | 1 | 2 o meno | |
| 051 | Foglia giovane: colore della pagina superiore del lembo (4 a foglia) | 1 / 3 | verde / bronzato | |
| 053 | Foglia giovane: densità peli striscianti tra le nervature principali della pagina inferiore (4a foglia) | 3 | bassa | |
| 065 | Foglia adulta: dimensione del lembo | 5 | medio | |
| 067 | Foglia adulta: forma del lembo | 4 | orbicolare | |
| 068 | Foglia adulta: numero dei lobi | 3 | cinque | |
| 070 | Foglia adulta: distribuzione pigmentazione antocianica nervature principali pagina superiore | 1 | assente | |
| 072 | Foglia adulta: depressioni del lembo | 1 | assenti o molto deboli | |
| 074 | Foglia adulta: profilo del lembo in sezione trasversale | 5 | contorto | |
| 075 | Foglia adulta: bollosità della pagina superiore del lembo | 1 | nulla o molto bassa | |
| 076 | Foglia adulta: forma dei denti | 5 | misto tra entrambi i lati rettilinei (livello 2) e entrambi i lati convessi (livello 3) | |
| 078 | Foglia adulta: lunghezza dei denti in rapporto alla loro larghezza | 5 | medi | |

| | | | | |
|-------|--|-------|---|---|
| 079 | Foglia adulta: grado di apertura / sovrapposizione dei bordi del seno peziolare | 3 / 5 | aperto / chiuso | |
| 080 | Foglia adulta: forma della base del seno peziolare | 1 / 2 | a U / a parentesi graffa ({}) | |
| 081-1 | Foglia adulta: denti del seno peziolare | 1 | assenti | |
| 081-2 | Foglia adulta: base del seno peziolare delimitata dalla nervatura | 1 | non delimitata | |
| 083-2 | Foglia adulta: denti nei seni laterali superiori | 1 | assenti | |
| 084 | Foglia adulta: densità dei peli striscianti tra le nervature principali sulla pagina inferiore del lembo | 1 | nulla o molto bassa | |
| 087 | Foglia adulta: densità dei peli eretti sulle nervature principali della pagina inferiore del lembo | 7 | elevata | |
| 093 | Foglia adulta: lunghezza del picciolo in rapporto alla lunghezza della nervatura mediana | 5 / 7 | uguale / leggermente più lungo | |
| 151 | Fiore: organi sessuali | 3 | stami completamente sviluppati e gineceo completamente sviluppato | |
| 153 | Infiorescenza: numero di infiorescenze per germoglio | 2 | da 1,1 a 2 infiorescenze | |
| 155 | Tralcio: fertilità delle gemme basali (gemme 1-3) | 9 | molto alta (>1,9) | |
| 202 | Grappolo: lunghezza (escluso il peduncolo) | 5 / 7 | medio / lungo | |
| 204 | Grappolo: compattezza | 1 | molto spargolo | |
| 206 | Grappolo: lunghezza del peduncolo del grappolo principale | 3 | corto | |
| 208 | Grappolo: forma | 1 | cilindrico | |
| 209 | Grappolo: numero di ali del grappolo principale | 2 / 3 | 1 - 2 ali / 3 - 4 ali |  |
| 220 | Acino: lunghezza | 3 / 5 | corto / medio | |
| 221 | Acino: larghezza | 3 / 5 | stretto / medio | |
| 223 | Acino: forma | 2 | sferoidale | |
| 225 | Acino: colore della buccia | 6 | blu nero | |
| 236 | Acino: particolarità dell'aroma | 1 | nessuna | |
| 241 | Acino: sviluppo dei vinaccioli | 3 | completo |  |

Ampelometria



foglia ampelometrica

nessun descrittore presente per Sbulzina

Superampelo

| distanze | | |
|---|---------|---------------------|
| descrittore | valore | deviazione standard |
| Distanza tra gli estremi delle nervature N4 e N4' | 100.260 | 22.000 |
| Distanza tra gli estremi delle nervature N3 e N3' | 172.230 | 15.570 |
| Lunghezza della nervatura N2 | 119.410 | 13.090 |
| Larghezza del seno peziolare / Distanza tra i punti SP e SP' | -31.220 | 13.060 |
| Lunghezza della nervatura N3 | 85.370 | 8.870 |
| Lunghezza della nervatura N2' | 124.500 | 12.080 |
| Distanza tra estremità di N2 e estremità della prima ramificazione laterale di N2 | 47.150 | 7.080 |
| Lunghezza della nervatura N3' | 88.830 | 8.270 |
| Distanza tra estremità di N2' e estremità della prima ramificazione laterale di N2' | 50.290 | 10.940 |
| Distanza dal seno peziolare al seno inferiore destro | 66.190 | 7.040 |
| Distanza dal seno peziolare al seno inferiore sinistro | 71.330 | 10.540 |
| Distanza dal seno peziolare al seno superiore destro | 84.580 | 18.010 |
| Distanza dal seno peziolare al seno superiore sinistro | 79.250 | 13.090 |
| Nervatura N3, lunghezza dal seno peziolare alla nervatura N4 | 10.290 | 2.060 |
| Nervatura N3', lunghezza dal seno peziolare alla nervatura N4' | 10.190 | 2.620 |
| Lunghezza della nervatura N5 | 27.460 | 4.770 |
| Lunghezza della nervatura N5' | 25.750 | 5.740 |
| Lunghezza della nervatura N4 | 57.920 | 4.470 |
| Lunghezza della nervatura N4' | 56.490 | 7.180 |
| Distanza tra punto peziolare ed estremità della nervatura N4 | 66.590 | 5.930 |
| Distanza tra punto peziolare ed estremità della nervatura N4' | 64.670 | 8.630 |
| Larghezza della foglia | 171.670 | 15.820 |
| Lunghezza della foglia | 185.070 | 19.160 |
| Lunghezza del picciolo | 119.910 | 20.710 |
| Lunghezza della foglia compreso il picciolo | 259.900 | 28.720 |
| Distanza tra gli estremi delle nervature N2 e N2' | 150.650 | 18.450 |
| Lunghezza della nervatura N1 | 140.010 | 15.610 |

| angoli | | |
|---|---------|---------------------|
| descrittore | valore | deviazione standard |
| Angolo tra N1 e N2 misurato alla prima biforcazione | 49.050 | 4.470 |
| Angolo tra N2 e N3 misurato alla prima biforcazione | 49.460 | 4.100 |
| Angolo tra N1 e N2' misurato alla prima biforcazione | 49.260 | 6.160 |
| Angolo tra N3 e N4 alla prima biforcazione di N3 | 46.620 | 7.170 |
| Angolo tra N2' e N3' misurato alla prima biforcazione | 47.050 | 4.500 |
| Angolo tra N1 e N2 misurato agli estremi delle nervature | 37.880 | 4.410 |
| Angolo tra N3' e N4' | 49.860 | 3.740 |
| Angolo tra N2 e N3 misurato agli estremi delle nervature | 43.390 | 5.980 |
| Angolo tra N1 e N2' misurato agli estremi delle nervature | 38.120 | 4.570 |
| Angolo tra N3 e N4 misurato agli estremi delle nervature | 45.230 | 6.480 |
| Angolo tra N2' e N3' misurato agli estremi delle nervature | 45.830 | 6.770 |
| Angolo di apertura del seno peziolare misurato a SP e SP' | 66.460 | 29.950 |
| Angolo tra N3' e N4' misurato agli estremi delle nervature | 49.030 | 8.180 |
| Angolo tra S e S' con centro in N1 | 60.300 | 13.440 |
| Angolo tra D e D' con centro in N1 | 101.740 | 9.230 |
| Angolo tra N3 e la tangente tra il punto peziolare e l'estremità N5 | 64.550 | 7.530 |
| Angolo tra I e I' con centro in N1 | 56.610 | 5.510 |
| Angolo tra N3' e la tangente tra il punto peziolare e l'estremità N5' | 66.590 | 9.710 |

| rapporti | | |
|--|-----------|---------------------|
| descrittore | valore | deviazione standard |
| Prodotto di Lunghezza e larghezza della foglia | 32001.460 | 5559.640 |
| Rapporto tra la lunghezza del picciolo OP e la lunghezza della nervatura N1 | 0.860 | 0.160 |
| Rapporto tra Lunghezza e larghezza della foglia | 1.080 | 0.060 |
| Rapporto tra la distanza dal seno la lunghezza della nervatura N2 | 0.700 | 0.100 |
| Rapporto tra l'altezza e la base del dente all'estremità della nervatura N4' | 0.770 | 0.120 |
| Rapporto tra l'altezza e la base del dente all'estremità della nervatura N2' | 0.830 | 0.160 |
| Rapporto tra l'altezza e la base del dente all'estremità della nervatura N4 | 0.850 | 0.130 |
| Rapporto tra la somma degli angoli a' + b' e la somma della distanza tra il seno peziolare e il seno superiore sinistro OS' e il seno peziolare e il seno inferiore sinistro OI' | 0.010 | 0.000 |
| Rapporto tra l'altezza e la base del dente all'estremità della nervatura N2 | 0.820 | 0.160 |
| Rapporto tra la lunghezza della nervatura N5' e la lunghezza della nervatura N1 | 0.190 | 0.040 |
| Rapporto tra la somma degli angoli a + b e la somma della distanza tra il seno peziolare e il seno superiore destro OS e il seno peziolare e il seno inferiore destro OI | 0.010 | 0.000 |
| Rapporto tra la lunghezza della nervatura N4' e la lunghezza della nervatura N1 | 0.410 | 0.060 |
| Rapporto tra la lunghezza della nervatura N5 e la lunghezza della nervatura N1 | 0.200 | 0.030 |
| Rapporto tra la lunghezza della nervatura N3' e la lunghezza della nervatura N1 | 0.630 | 0.050 |
| Rapporto tra la lunghezza della nervatura N4 e la lunghezza della nervatura N1 | 0.420 | 0.030 |
| Rapporto tra la lunghezza della nervatura N2' e la lunghezza della nervatura N1 | 0.890 | 0.060 |
| Rapporto tra la lunghezza della nervatura N3 e la lunghezza della nervatura N1 | 0.610 | 0.030 |
| Rapporto tra la distanza dal seno peziolare al seno inferiore sinistro OI' e la lunghezza della nervatura N3' | 0.800 | 0.070 |
| Rapporto tra la lunghezza della nervatura N2 e la lunghezza della nervatura N1 | 0.860 | 0.050 |
| Rapporto tra la distanza dal seno peziolare la lunghezza della nervatura N2' | 0.640 | 0.100 |
| Rapporto tra la distanza dal seno peziolare al seno inferiore destro OI e la lunghezza della nervatura N3 | 0.780 | 0.080 |